

# روش جدیدی برای تشخیص و آنالیز حرکتهای پریودیک در تصاویر ویدئویی

معراج قادریان<sup>۱</sup>، علیرضا بهراد<sup>۲</sup>

<sup>۱</sup>دانشجوی کارشناسی ارشد دانشکده فنی مهندسی دانشگاه شاهد، ir.ghaderian@shahed.ac.ir

<sup>۲</sup>استادیار دانشکده فنی مهندسی دانشگاه شاهد، ir.behrad@shahed.ac.ir

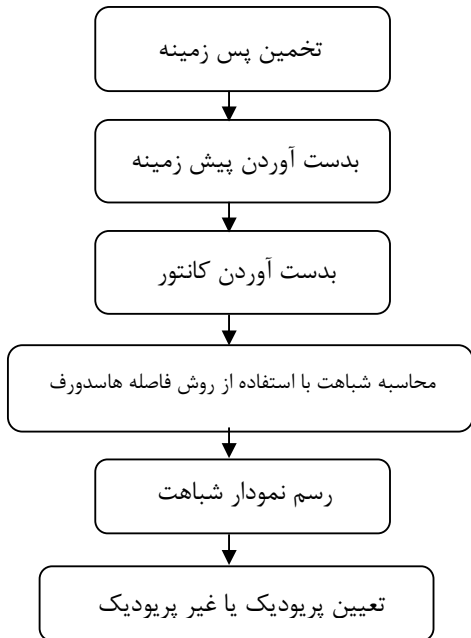
چکیده - در این مقاله روش جدیدی برای تشخیص و دسته بندی حرکتهای پریودیک و غیر پریودیک ارایه می شود. از آنجا که حرکت انسان از جمله مهمترین حرکتهای پریودیک می باشد، تمرکز ما بر روی این حرکات می باشد. روش کار به این صورت است که ابتدا به تشخیص پیش زمینه از پس زمینه می پردازیم سپس با استفاده از روش فاصله هاسدورف (*Hausdorff distance*) و خود تشابهی، شباهت فریم های مختلف ویدئو محاسبه شده و در نهایت بر اساس این معیار به ارزیابی پریودیک و یا غیر پریودیک بودن حرکت پرداخته می شود. در انتهای نتایج عملی بر روی پایگاه داده ای متشکل از ۱۰۰ ویدئو بررسی شده که موثر بودن این روش نشان داده می شود.  
کلید واژه- حرکت های پریودیک و غیر پریودیک، خود تشابهی، فاصله هاسدورف.

مولفه های عمودی که دارای حرکت هستند طیف توان گرفته می شود. سپس آشکارسازی سیکل راه رفت و نرمالیزه کردن طیف صورت گرفته و بردارهای توان ویژگی بدست می آید. سرانجام الگوی حرکتی ایجاد شده و با استفاده از آن به تشخیص حرکت پریودیک پرداخته می شود. Cutler و Davis [۳] به آشکارسازی و آنالیز حرکتهای پریودیک پرداختند. در روش ارایه شده ابتدا اشیاء متحرك جداسازی می شود. برای تشخیص پریود هر شی، ابتدای شیء جدا شده برای هر تک تصویر با استفاده از مرکز شی، هم ردیف شده و اشیاء تغییر اندازه داده می شود تا همگی اندازه یکسانی پیدا کنند. سپس خود تشابهی شیء محاسبه می شود. برای تشخیص اینکه یک شیء پریودیک است، طیف توان یک بعدی تخمین زده شده و حرکت پریودیک بصورت قله هایی در فرکانس های اصلی حرکت طیف دیده می شود. در روش Jin و همکارانش [۱] یک صورت گرفته است. Cheng و همکارانش [۱] یک تفکیک کننده ویژگی حرکت پریودیک معرفی کردند که انواع ورزش های مختلف را که دارای حرکت پریودیکی است تمایز می کند. در روش آنها با استفاده از بردارهای حرکت، منحنی ویژگی حرکت در راستای افقی و عمودی استخراج شده، سپس چگالی طیف توان منحنی های ویژگی با استفاده از روش کواریانس اصلاح شده بدست می آید. سرانجام با شناسایی ماکریزم طیف توان، یکسری از مشخصه های فرکانسی بدست می آید که برای آنالیز حرکت انسان در تشخیص چهار نوع ورزش مختلف که دارای حرکت پریودیک هستند استفاده می شود. Meng و Holstein [۲] به تشخیص حرکتهای پریودیک بر اساس اطلاعات بدست آمده از روش های فرکانسی مبتنی بر حرکت می پردازند. بر اساس روش آنها بدن انسان متحرك بدست می آید. سپس زمینه محاسبه شده و تصویر لبه بدست آورده می شود و سر

## ۱- مقدمه

حرکتهای پریودیک از جمله مهمترین حرکتهای موجود در طبیعت می باشد مانند پرواز پرندها، ضربان قلب، راه رفت و انسانها و غیره. از آنجا که مهمترین حرکت پریودیک، حرکتهای مربوط به انسان است و این مساله یکی از مسائل مهم در بینایی ماشین می باشد و از طرفی پریود نشانه مهمی در تشخیص و آنالیز حرکت است، تحقیقاتی بر روی تشخیص و آنالیز حرکتهای پریودیک صورت گرفته است. Cheng و همکارانش [۱] یک تفکیک کننده ویژگی حرکت پریودیک معرفی کردند که انواع ورزش های مختلف را که دارای حرکت پریودیکی است تمایز می کند. در روش آنها با استفاده از بردارهای حرکت، منحنی ویژگی حرکت در راستای افقی و عمودی استخراج شده، سپس چگالی طیف توان منحنی های ویژگی با استفاده از روش کواریانس اصلاح شده بدست می آید. سرانجام با شناسایی ماکریزم طیف توان، یکسری از مشخصه های فرکانسی بدست می آید که برای آنالیز حرکت انسان در تشخیص چهار نوع ورزش مختلف که دارای حرکت پریودیک هستند استفاده می شود. Meng و Holstein [۲] به تشخیص حرکتهای پریودیک بر اساس اطلاعات بدست آمده از روش های فرکانسی مبتنی بر حرکت می پردازند. بر اساس روش آنها بدن انسان متحرك بدست می آید. سپس از منحنی های مسیر ویژگی حرکت شار بدست می آید. سپس از منحنی های مسیر

خودشباhtی برای تشخیص پریوDیک یا غیر پریوDیک بودن آن استفاده می شود.



شکل ۱: بلوک دیاگرام کلی الگوریتم پیشنهادی

## ۱-۲ - تخمین پس زمینه

روشهای مختلفی برای تخمین پس زمینه مانند روش فیلتر میانه زمانی [۸]، روش ترکیب گوسی ها [۹] و روش تخمین چگالی هسته [۱۰] وجود دارد. در صورتی که تغییرات شدت روشنایی پس زمینه کم باشد فیلتر میانه عملکرد مناسبی برای تخمین پس زمینه خواهد داشت. در روش فیلتر میانه زمانی، تک تک پیکسل های فریم های یک ویدئو مرتب شده و میانه آن بعنوان پیکسل پس زمینه در نظر گرفته می شود که رابطه (۱) بیانگر آن است.

$$B(x, y, t) = \text{median}\{I(x, y, t-i)\} \quad (1)$$

$$, i \in \{0, \dots, n-1\}$$

در رابطه (۱)،  $B$  تصویر پس زمینه و  $I$  تصویر موجود و  $n$  تعداد فریم های ویدئو می باشد. به منظور غلبه بر تغییرات شدت روشنایی، پس زمینه تصویر با محاسبه دوباره در طول زمان به روز می شود.

انجام ناحیه متحرک بدست می آید. پس از تشخیص بدن انسان، برای بهبود تشخیص و ناحیه بندی شی از اطلاعات حرکت پریوDیک حرکت راه رفتن استفاده می شود. در روش ارایه شده توسط Pogalin و همکارانش [۶]، تشخیص حالت پریوDیک بینایی با استفاده از همتراز کردن پنجره های شی استخراج شده توسط یک الگوریتم ردیاب مناسب صورت می گیرد. رفتار پریوDیک شی در این روش با استفاده از PCA تحلیل شده است [۷]، بطوریکه گروه داده های ورودی با هم دارای همبستگی شدت روشنایی و شکل شی و به کمک متغیرهای ناشناس بددست می آورد. همچنین تحلیل داده ها از طریق تقسیم آنها به عناصر فاصله و زمان می باشد.

در اکثریت روشهای ذکر شده در بالا از بردارهای حرکت یا ویژگی های مستخرج از بردارهای حرکت برای تشخیص پریوDیک بودن حرکت استفاده شده است. اما مشکل این روشهای در تشخیص پریوDیک بودن حرکتهای انسانی، دقت کم آنها به علت خاصیت غیر صلب بودن حرکت بدن انسان است. از سوی دیگر محاسبات این روشهای نیز زیادتر است. استفاده از روش خود تشابهی روش دیگری است که در برخی از مراجع برای تشخیص پریوDیک بودن استفاده شده است اما مشکل این روش تخمین دقیق ناحیه هدف و حساسیت آن نسبت به تغییرات شدت روشنایی است.

در این مقاله ما روشی برای تشخیص پریوDیک و یا غیر پریوDیک بودن حرکت پیشنهادی می دهیم که مبنای آن استفاده از خودتشابهی می باشد. برای رفع مشکلات روش خود تشابهی ما از استخراج کانتور هدف و محاسبه شباهت کانتور هدف در فریم های مختلف با استفاده از فاصله هاسدورف بهره برده ایم. ساختار این مقاله بصورت زیر است. در بخش ۲ روش پیشنهادی توضیح داده می شود. نتایج عملی در بخش ۳ بررسی شده و در بخش ۴ نتیجه گیری بیان می شود.

## ۲ - روش پیشنهادی

مراحل کلی الگوریتم پیشنهادی در شکل ۱ نشان داده شده است. الگوریتم با تخمین پس زمینه شروع شده و با استفاده از پس زمینه محاسبه شده، پیش زمینه و کانتور هدف تخمین زده می شود. سپس با استفاده از روش فاصله هاسدورف خودشباhtی بین هدف در فریم های مختلف محاسبه می شود. از منحنی

### ۳-۲ - فاصله هاسدورف و محاسبه شباهت

فاصله هاسدورف فاصله دو مجموعه از نقاط از یکدیگر را در یک فضای متریک اندازه گیری می کند. اگر هر نقطه از یک مجموعه به بعضی از نقاط مجموعه دیگر نزدیک باشد، دو مجموعه فاصله هاسدورف کمتری را خواهند داشت. فاصله هاسدورف طولانی ترین فاصله ایست که از نقطه ای در یک مجموعه به نقطه مجاور در مجموعه دیگر می توان رسید (شکل ۲).

فرض کنید  $X$  و  $Y$  دو زیر مجموعه غیر تهی از یک فضای متریک  $(M, d)$  باشد. فاصله هاسدورف  $d_H(X, Y)$  بصورت زیر تعریف می شود.

$$d_H(X, Y) = \max\{ \supinf_{x \in X, y \in Y} d(x, y), \supinf_{y \in Y, x \in X} d(x, y) \} \quad (4)$$

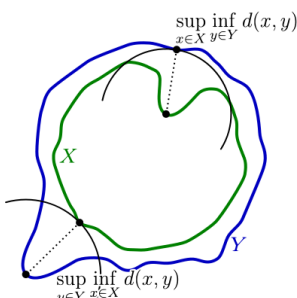
که  $\sup$  بیانگر supremum و  $\inf$  بیانگر infimum است. رابطه را می توان بصورت زیر نیز بیان کرد.

$$d_H(X, Y) = \inf\{\varepsilon > 0; X \subseteq Y_\varepsilon, Y \subseteq X_\varepsilon\} \quad (5)$$

و

$$X_\varepsilon = \bigcup_{x \in X} \{z \in M; d(z, x) \leq \varepsilon\} \quad (6)$$

بنابراین مجموعه همه نقاط در  $\varepsilon$  از مجموعه  $X$  است.



شکل ۳: نمایش فاصله هاسدورف میان دو منحنی

در این مرحله شباهت بین کانتور فریم اول با کانتور فریم های دیگر توسط فاصله هاسدورف محاسبه می شود. لازم به ذکر است که در تصاویر پریودیک شباهت بین فریم اول با فریم های بعدی مرتباً افزایش و کاهش یافته و خود تشابهی حالت پریودیک خواهد داشت. بنابراین از این معیار برای تشخیص حرکت های پریودیک استفاده می کنیم.

### ۲-۲ - تفاضل پس زمینه و بدست آوردن کانتور

پس از بدست آوردن تصویر پس زمینه، تصویر موجود را از تصویر پس زمینه کم کرده و نیمرخ (Silhouette) ناحیه متحرک بدست می آید.

$$|I(x, y, t) - B(x, y, t)| > TH \quad (2)$$

در اینجا  $TH$  یک آستانه بوده که بصورت تجربی و بر اساس نوع تصاویر بدست می آید که ما آنرا عدد  $10$  در نظر می گیریم.

از آنجایی که نویزهایی در تصویر وجود داشته و دقت کار پایین می آید از عملگرهای شکل شناسی برای تشخیص بهتر نیمرخ استفاده می شود. ما از مراحل زیر برای تخمین دقیق کانتور هدف استفاده کرده ایم.

- حفره های کوچک پیش زمینه با استفاده از الگوریتمهای شکل شناسی پر می شوند.

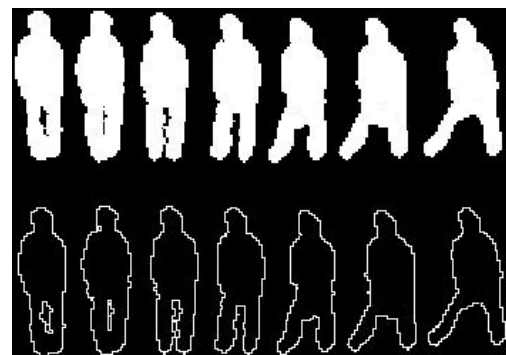
- مرز بین اجزای متصل نزدیک به هم پر می شوند.

- مرز بزرگترین جزء متصل استخراج می شود و به عنوان هدف در نظر گرفته می شود..

- لبه های هدف در تصویر اصلی استخراج و کانتور هدف با استفاده از لبه های بدست آمده و مرز تخمینی در مرحله قبل محاسبه می شود. شکل ۲ نمونه ای از نتایج را نشان می دهد. پس از بدست آوردن کانتور، مرکز جرم آن ( $\bar{x}, \bar{y}$ ) در هر فریم توسط رابطه (۳) بدست آورده می شود.

$$\bar{x} = \frac{\iint xb(x, y) dx dy}{\iint b(x, y) dx dy}, \bar{y} = \frac{\iint yb(x, y) dx dy}{\iint b(x, y) dx dy} \quad (3)$$

که در رابطه (۳)،  $b(x, y)$  تصویر باینری کانتور می باشد. برای همتراز کردن فریم ها با فریم اول و بدست آوردن شباهت حرکت، همه فریم ها را به مختصات مرکز جرم فریم اول انتقال داده تا همگی همتراز شوند.



شکل ۲: نمایش نیمرخ و کانتور ویدئوی شامل حرکت پریودیک

## ۳- نتایج تجربی

الگوریتم پیشنهاد شده با استفاده از نرم افزار Matlab پیاده سازی و با استفاده از پایگاه دادهای متشکل از ۱۰۰ ویدئو تست شد. پایگاه داده استفاده شده حاوی ۵۰ ویدئو با حرکتهای پریودیک و ۵۰ ویدئو شامل حرکتهای غیرپریودیک می باشد که تعداد فریم های پایگاه داده بین ۵۰ تا ۵۰۰ فریم می باشد. تعدادی از ویدئوهای پایگاه داده توسط نویسنده و با دوربین Canon ۱۲ مگاپیکسلی (با رزولوشن  $480 \times 640$  و ۲۵ فریم بر ثانیه) تهیه شده و تعداد دیگر از ویدئوها از مراجع [۱۱ و ۱۲ و ۱۳] (رزولوشن  $144 \times 180$  و ۲۵ فریم بر ثانیه) استخراج گردیده است. نمونه ای از ویدئوهای پایگاه داده شامل حرکت های پریودیک و غیر پریودیک در شکل ۶ نشان داده شده است.



شکل ۶: نمونه های مختلف از ویدئوهای پایگاه داده

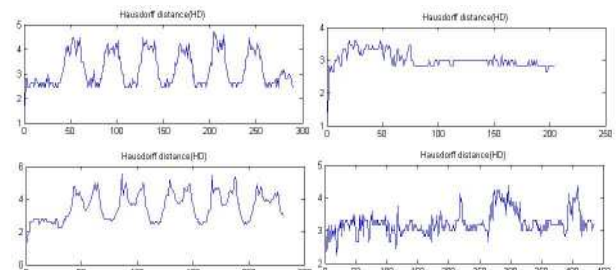
حرکتهای پریودیک موجود در پایگاه داده شامل ۲۲ نمونه ویدئو شامل انواع حرکت راه رفتن (۰ درجه، ۴۵ درجه و ۹۰ درجه)، ۷ نمونه ویدئو شامل انواع حرکت دویدن و ۲۱ نمونه ویدئو شامل انواع حرکتهای ایروبیک می باشد. حرکتهای غیر پریودیک موجود در پایگاه داده شامل انواع حرکتهای ایروبیک است که بصورت غیر پریودیک صورت گرفته است.

جدول ۱ نتایج آزمایش الگوریتم پیشنهاد شده بر روی ۱۰۰ ویدئو پایگاه داده را نشان می دهد. همان طور که از این جدول مشخص است، الگوریتم شش حرکت پریودیک را غیر پریودیک تشخیص داده و یک حرکت غیر پریودیک را پریودیک تشخیص

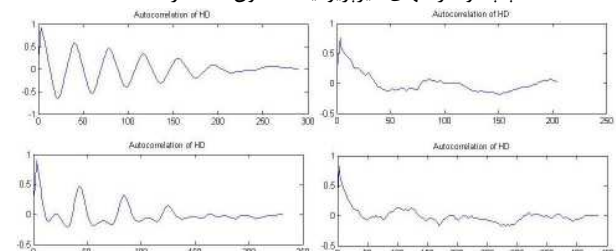
## ۴-۲- تشخیص پریودیک بودن حرکت

همان طور که ذکر شد در حرکتهای پریودیک منحنی فاصله هاسدورف بین کانتور هدف در اولین فریم با کانتور هدف در بقیه فریم ها شبکه پریودیک خواهد داشت. شکل ۴ نمونه ای از منحنی فاصله هاسدورف را برای حرکتهای پریودیک و غیر پریودیک نشان می دهد. همان طور که از این شبکه مشخص است این منحنی دارای نویز بوده و تشخیص پریودیک بودن حرکت در آن سخت است. بنابراین ما از الگوریتم زیر برای تشخیص پریودیک یا غیر پریودیک بودن حرکت در تصاویر ویدئویی استفاده می کنیم:

- منحنی فاصله هاسدورف برای هدف متحرک محاسبه می شود.
- خود همبستگی منحنی فاصله هاسدورف محاسبه می شود. نمونه ای از منحنی خود همبستگی برای منحنی های شکل ۴ در شکل ۵ نشان داده شده است.
- قله ها و دره های منحنی خود همبستگی محاسبه شده و اختلاف دامنه و فاصله زمانی بین قله ها و دره های مجاور محاسبه می شود.
- اگر حداقل اختلاف دامنه های محاسبه شده در مرحله قبل کمتر از حد آستانه  $T_1$  باشد حرکت غیر پریودیک است در غیر این صورت به مرحله بعد می رویم.
- اگر تغییرات فاصله های زمانی متوالی از یک حد آستانه بیشتر باشد حرکت غیر پریودیک و گرنه پریودیک است.



شکل ۴: منحنی فاصله هاسدورف برای حرکتهای پریودیک (ستون سمت چپ) و حرکتهای غیرپریودیک (ستون سمت راست)



شکل ۵: منحنی خود همبستگی برای منحنی های شکل ۴

#### ۴- نتیجه گیری و پیشنهادات

ما روش جدیدی برای تشخیص و دسته بندی حرکت های پریودیک و غیر پریودیک ارایه کردیم که بر اساس آن با شناسایی پیش زمینه از پس زمینه و بدست آوردن کانتور آن، شباهت فریم های ویدئو را بر اساس فاصله هاسدورف بدست آورده و خود شباهی آن را محاسبه می کنیم. آزمایشات نشان می دهد که این روش علاوه بر سادگی، دقیق قابل ملاحظه ای داشته و در تشخیص حرکتهای پریودیکی که تغییرات کمی نداشته باشد نتیجه مناسبی را دارد.

از جنبه هایی که می توان عنوان راهکار درنظر گرفت استفاده از پارامترهای دیگری است که شباهت را بهتر تخمین بزند. بر این اساس روش های اندازه گیری شباهتی مورد نظر است که بجای تمرکز بر روی شباهت ناحیه که کلیات شکل را مقایسه می کند، بر روی شباهت شکل متمرکز می شود.

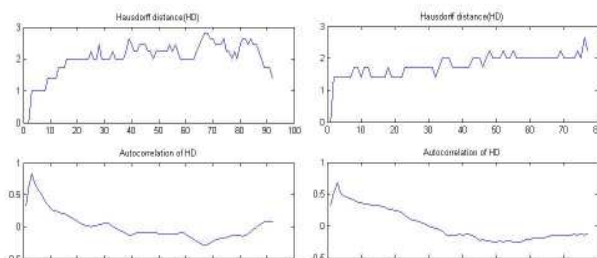
#### مراجع

- [1] F.X. Cheng, W. Christmas, and J. Kittler, "Periodic human motion description for sports video database", *International Conference on Pattern Recognition*, Vol. 3, pp. 870 – 873, 2004.
- [2] Q.Meng, B.Li and H.Holstein, "Recognition of human periodic movements from unstructured information using a motion-based frequency domain approach", *Image and Vision Computing*, Vol. 24, No. 8, pp. 795-809, 2006.
- [3] R.Cutler and L.Davis, "View-based Detection and Analysis of Periodic Motion", *Proc. Int'l Conf. Pattern Recognition*, Vol. 1, pp. 495 - 500, Aug. 1998.
- [4] X. Tong, L. Duan, C. Xu, Q. Tian, H. Lu, J. Wang and J.S. Jin, "Periodicity Detection of Local Motion", *IEEE International Conference on ICME*, pp. 650 – 653, 2005.
- [5] J.H.Yoo, M.S.Nixon and C.J.Harris, "Extraction and Description of Moving Human Body by Periodic Motion Analysis", *Proc. ISCA 17th International Conference on Computers and Their Applications*, pp. 110-113, 2002.
- [6] E. Pogalin, A.W.M. Smeulders, and A.H.C Thean, "Visual quasiperiodicity", *Computer Vision and Pattern Recognition, IEEE Conference on*, pp. 1-8, August 2008.
- [7] R. O. Duda, P. E. Hart, and D. G. Stork, *Pattern Classification*, Wiley- Interscience Publication, 2000.
- [8] B.P.L. Lo and S.A. Velastin, "Automatic congestion detection system for underground platforms," *Intelligent Multimedia, Video and Speech Processing, 2001. Proceedings of 2001 International Symposium on*, pp. 158-161, May 2001.
- [9] C. Stauffer and W.E.L. Grimson, "Adaptive background mixture models for real-time tracking.", *IEEE COMPUTER SOCIETY CONFERENCE ON COMPUTER VISION AND PATTERN RECOGNITION*, Vol. 2, pp. 246-252, June 1999.
- [10] A. Elgammal, D. Harwood, and L.S. Davis, "Nonparametric model for background subtraction," *LECTURE NOTES IN COMPUTER SCIENCE, ISSU 1843*, pp. 751-767, June 2000.
- [11] L. Gorelick, M. Blank, E. Shechtman, M. Irani, and R. Basri, "Actions as space-time shapes," *IEEE Trans. Pattern Anal. Machine Intell.*, Vol. 29, No. 12, pp. 2247–2253, Dec. 2007.
- [12] C. Schuldt, I. Laptev, and B. Caputo, "Recognizing Human Actions: A Local SVM Approach", *INTERNATIONAL CONFERENCE ON PATTERN RECOGNITION*, Vol. 17, pp. 32- 36, UK, 2004.
- [13] Online: <http://mocap.cs.cmu.edu/>

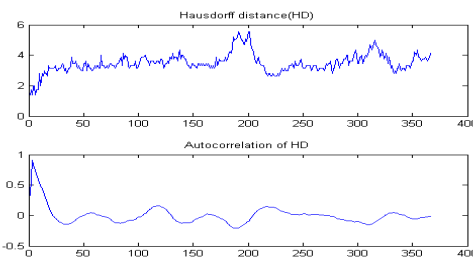
داده است. شکل ۷ منحنی فاصله هاسدورف و خود همبستگی را برای دو نمونه از این حرکتهای پریودیکی که غیر پریودیک تشخیص داده شده اند را نشان می دهنند. همان طور که مشخص است منحنی حالت پریودیک ندارد. این اتفاق زمانی رخ می دهد که حرکتهای پریودیک باعث ایجاد تغییرات کمی در شکل کانتور شود. مانند حالتی که شخص به سمت دوربین می آید (راه رفتن ۹۰ درجه). در این حالت چون تغییرات شخص در حال حرکت کم می باشد فاصله هاسدورف بین فریم ها کم بوده و عملاً در تشخیص شباهت بین فریم ها و در نتیجه در تشخیص پریود حرکت، الگوریتم چهار خطای می شود. شکل ۸ منحنی فاصله هاسدورف و خود همبستگی حرکت غیر پریودیکی که پریودیک تشخیص داده است نشان می دهد. خطای بدست آمده در تشخیص حرکتهای غیرپریودیک در موردی است که تغییرات ساختار و کلیت بدن حالت پریودیک داشته ولی حرکت شخص پریودیک نبوده است.

جدول ۱: نتایج تشخیص حرکت های پریودیک و غیر پریودیک

حرکت	تعداد	تشخیص درست	درصد تشخیص
پریودیک	۵۰	۴۴	%۸۸
غیرپریودیک	۵۰	۴۹	%۹۸
مجموع	۱۰۰	۹۳	%۹۳



شکل ۷: منحنی های فاصله هاسدورف و خود همبستگی برای دو نمونه از حرکتهای پریودیک با تشخیص غلط



شکل ۸: منحنی های فاصله هاسدورف و خود همبستگی برای حرکت غیرپریودیک با تشخیص غلط